

# 贺西矿 煤层顶板稳定性 分析与控制技术

刘少伟 张辉 姚宝珠 李耀晖 著

### 图书在版编目 (CIP) 数据

贺西矿煤层顶板稳定性分析与控制技术/刘少伟等著. --北京: 煤炭工业出版社, 2016

ISBN 978 - 7 - 5020 - 4911 - 9

I. ①贺… II. ①刘… III. ①煤层—顶板—稳定性研究 IV. ①TD327. 2

中国版本图书馆 CIP 数据核字 (2015) 第 156651 号

## 贺西矿煤层顶板稳定性分析与控制技术

著 者 刘少伟 张 辉 姚宝珠 李耀晖

责任编辑 张江成

编 辑 李景辉

责任校对 李新荣

封面设计 王 滨

出版发行 煤炭工业出版社 (北京市朝阳区芍药居 35 号 100029)

电 话 010 - 84657898 (总编室)

010 - 64018321 (发行部) 010 - 84657880 (读者服务部)

电子信箱 cciph612@126. com

网 址 www. cciph. com. cn

印 刷 北京建宏印刷有限公司

经 销 全国新华书店

开 本 710mm × 1000mm<sup>1/16</sup> 印张 10<sup>1/2</sup> 字数 200 千字

版 次 2016 年 1 月第 1 版 2016 年 1 月第 1 次印刷

社内编号 7757 定价 30.00 元

版权所有 违者必究

本书如有缺页、倒页、脱页等质量问题, 本社负责调换, 电话: 010 - 84657880

## 前 言

在煤矿五大灾害中，顶板事故数量高居首位。我国煤矿步入综合机械化开采时代后，虽然采煤工作面的顶板事故有所下降，但是掘进工作面顶板事故仍然多发，支护后巷道冒顶事故也时有发生。因此，应在开采、开掘前研究煤层顶板区域稳定性，并预知事故发生的可能区域，为设计者、施工者提供参考，保证矿井的安全生产。

煤层巷道在煤矿井下广泛存在，每年新掘巷道 20000 余千米，煤巷占 80% 以上。煤层巷道相对于岩巷具有掘进速度快、支护成本低、稳定性差等特点，锚杆支护技术在煤巷中已广泛采用，但煤巷冒顶仍然是其瓶颈问题。

作者科研团队于 2007 年和 2009 年在贺西矿进行了“采空区下回采巷道位置优化与控制技术”及“贺西矿煤巷锚杆支护成套技术”两个项目的研究。在近 8 年联合攻关技术难题过程中，采用现场调研、实验室实验、理论分析和现场工业性试验等综合研究方法，结合煤矿现场工程地质条件，对该矿井巷道煤层顶板稳定性与控制技术进行了深入系统的研究，并取得了一系列研究成果，现将有关成果加以整理、出版，以期为广大煤矿工程技术人员在掘进、开采过程中煤层顶板的控制提供参考。

本书中较多核心思想和技术灵感来自于中国矿业大学（北京）博士生导师马念杰教授。多年来，在教学与科研过程中得到了马老师的悉心指教，每次都有醍醐灌顶之感，在这里深表谢意。本书第 1 章由刘少辉、姚宝珠共同撰写，第 2 章由姚宝珠、张辉共同撰写，第 3 章由李耀晖撰写，第 5 章由刘少伟撰写，第 4 章、第 6 章由张辉撰写。

本书部分研究成果得到了国家自然科学基金“煤巷顶板锚固体波导特性与失稳模式”(No. 51104055)、“煤巷顶板锚固孔钻进动力响应特性与冒顶隐患识别”(No. 51274087)项目的资助，特此感谢。在作者的研究和写作过程中，引用了一些单位和国内工程技术人员及有关学者发表的文献资料，在此对所引文献的作者表示深深的感谢。由于时间仓促，作者水平有限，书中缺点和错误在所难免，恳请专家、同行批评指正！

著 者

2015年5月

# 目 次

1 贺西矿概况 .....	001
1.1 贺西矿位置及交通情况 .....	001
1.2 井田地层 .....	001
1.3 含煤地层 .....	004
1.4 可采煤层 .....	006
1.5 井田地质构造 .....	013
1.6 矿井水文地质类型 .....	016
2 贺西矿煤巷地质力学评估 .....	018
2.1 贺西矿井田地应力分布信息 .....	018
2.2 试验巷道位置的选择 .....	020
2.3 煤岩坚固性系数测定 .....	022
2.4 煤岩物理力学参数测定 .....	025
2.5 巷道顶板岩层结构探测 .....	027
2.6 本章小结 .....	033
3 贺西矿煤层顶板稳定性分类及区域智能划分 .....	034
3.1 国内外煤层顶板稳定性研究现状 .....	034
3.2 顶板稳定性影响因素 .....	037
3.3 贺西矿煤层顶板分类方法 .....	038
3.4 煤层顶板稳定性分类智能划分系统开发 .....	040
3.5 贺西矿3号煤层顶板稳定性智能分区 .....	063
3.6 本章小结 .....	070
4 采空区下回采巷道位置优化及协同支护原理 .....	071
4.1 采空区下回采巷道概况 .....	071
4.2 采空区底板力学分布特征分析 .....	073
4.3 煤柱对底板岩层应力分布的影响 .....	077

4.4 采空区下回采巷道不同位置力学特征模拟分析 .....	085
4.5 采空区下回采巷道协同支护原理 .....	099
4.6 本章小结 .....	102
<b>5 接长锚杆结构设计及特性实验 .....</b>	<b>103</b>
5.1 接长锚杆结构设计 .....	103
5.2 接长锚杆实验室拉拔实验 .....	108
5.3 连接部受力阶段与微观结构关系实验 .....	118
5.4 初期设计的接长锚杆受力数值分析 .....	129
5.5 接长锚杆连接结构优化设计及拉拔实验 .....	138
5.6 本章小结 .....	140
<b>6 贺西矿煤层顶板控制技术工业性试验 .....</b>	<b>141</b>
6.1 试验巷道条件 .....	141
6.2 试验巷道支护设计思路 .....	141
6.3 支护设计参数 .....	142
6.4 工作面回采巷道支护效果监测与分析 .....	145
6.5 本章小结 .....	156
<b>参考文献.....</b>	<b>157</b>

# 1 贺西矿概况

## 1.1 贺西矿位置及交通情况

贺西矿位于柳林县金家庄乡嘉善村、陈家湾乡贺家社村和中阳县武家庄镇福禄峪村一带。地理坐标为东经  $110^{\circ} 53' 59'' \sim 110^{\circ} 59' 24''$ ，北纬  $37^{\circ} 16' 15'' \sim 37^{\circ} 21' 25''$ 。区域内交通比较方便，柳林至石楼的二级公路自北向南通过井田西南角，贺西矿有乡级公路通往柳林县城，贺西矿交通位置如图 1-1 所示。



图 1-1 贺西矿交通位置图

## 1.2 井田地层

### 1.2.1 奥陶系中统 ( $O_2$ )

#### 1. 上马家沟组 ( $O_{2s}$ )

该组位于下马家沟组之上，厚度为 253.60 m。下部为灰黄、灰白色角砾状白云质泥灰岩夹薄层泥灰岩；中部为青灰、灰黑色中厚层白云质豹皮灰岩，夹白

云质灰岩及少许白云岩；上部为灰、深灰色厚层状石灰岩、白云质灰岩及豹皮灰岩，夹白云质泥灰岩及泥质白云岩。

## 2. 峰峰组 ( $O_2f$ )

该组连续沉积在上马家沟组地层之上，共同构成煤系地层基底。 $H_5$ 、 $H_6$ 、 $HX$ 号钻孔资料显示，本组厚度为  $131.78 \sim 140.30$  m，平均厚度为  $136.04$  m，层理及岩溶裂隙较发育。

### 1.2.2 石炭系 (C)

#### 1. 中统本溪组 ( $C_2b$ )

该组厚度  $19.70 \sim 45.38$  m，平均厚度  $32.94$  m。平行不整合于奥陶系中统峰峰组地层之上，以山西式铁矿及铝质泥岩为底界， $K_1$  砂岩底为顶界；岩性以灰色铝质泥岩及黑色泥岩为主，底部铝质泥岩多呈团块状，常与黄铁矿结核共生。

#### 2. 上统太原组 ( $C_3t$ )

该组厚度为  $67.29 \sim 104.24$  m，平均厚度为  $81.87$  m。连续沉积在下伏本溪组地层之上，以石英砂岩  $K_1$  为底界， $K_3$  砂岩底为顶界，为井田内主要含煤地层之一。按沉积环境和岩性特征分类，可将该组分为一、二、三段。

##### 1) 一段 ( $C_3t_1$ )

由  $K_1$  石英砂岩底至  $L_1$  灰岩底，厚度为  $37.97 \sim 41.47$  m，平均厚度为  $40.19$  m。岩性以黑色泥岩、浅灰色中厚层状砂岩为主，底部为灰、灰白色细粒石英砂岩 ( $K_1$ )，含岩屑及泥质包体，具微波状层理和交错层理，接触式铁质、泥质胶结为主，中部夹  $0 \sim 2$  层极不稳定的生物碎屑微晶灰岩及铝质泥岩。含煤  $3 \sim 4$  层，自上而下编号为 8、8<sub>上</sub>、10、11 号煤层。

##### 2) 二段 ( $C_3t_2$ )

由  $L_1$  灰岩底至  $L_5$  灰岩顶，厚度为  $25.62 \sim 49.97$  m，平均厚度为  $34.53$  m。岩性主要由  $3 \sim 5$  层生物碎屑泥晶（微晶）灰岩 ( $L_{1+2}$ 、 $L_3$ 、 $L_4$ 、 $L_5$  灰岩) 夹碎屑岩类组成，含煤 2 层，自上而下编号为 6、7 号煤层。

##### 3) 三段 ( $C_3t_3$ )

由  $L_5$  灰岩顶至  $K_3$  砂岩底，厚度  $3.70 \sim 12.80$  m，平均厚度  $7.15$  m。岩性以深灰-黑灰色泥岩、砂质泥岩为主，局部夹薄层炭质泥岩和 5 号薄煤层，顶部一般为灰色铝质泥岩，含菱铁质及黄铁矿结核。

### 1.2.3 二叠系 (P)

#### 1. 下统山西组 ( $P_1s$ )

该组厚度  $68.42 \sim 89.90$  m，平均厚度  $77.50$  m，岩性以灰色砂岩、灰黑-黑色砂质泥岩、泥岩为主，局部夹炭质泥岩及铝质泥岩，含煤  $3 \sim 5$  层。该组底部的中粒-粗粒砂岩 ( $K_3$ ) 层位稳定，呈灰色-深灰色，厚层状，成分以石英为主，分选性差，由下而上粒度从粗到细，底部一般为薄层细砾岩，砾径  $5 \sim$

10 mm，常含大量煤屑，厚 1.95 ~ 20.10 m，平均厚 10.44 m。

#### 2. 下统下石盒子组 ( $P_1x$ )

该组厚度 69.64 ~ 129.90 m，平均厚度 88.58 m，连续沉积在山西组之上，下界为  $K_4$  砂岩底。该组地层以河流湖泊相沉积为主，属陆相沉积，按沉积环境和岩性特征可分为上、下两段。

##### 1) 下段 ( $P_1x_1$ )

$K_4$  砂岩底至  $K_5$  砂岩底，厚度 45.69 ~ 78.40 m，平均厚度 53.70 m。岩性以灰色 - 深灰色砂质泥岩及泥岩为主，夹少量砂岩，含煤线 0 ~ 3 层，极不稳定。底部  $K_4$  砂岩为灰白色 - 深灰色中厚层状中 - 粗粒长石石英砂岩，成分以石英为主，长石次之，含岩屑、云母及重矿物，夹炭质或有机质条纹和泥质包体，呈脉状层理及交错层理。

##### 2) 上段 ( $P_1x_2$ )

$K_5$  砂岩底至  $K_6$  砂岩底，厚度 23.95 ~ 51.50 m，平均厚度 34.88 m。岩性以灰 - 灰绿色砂岩为主，顶部为灰 - 灰绿色夹紫色斑块的含铝质泥岩（俗称桃花泥岩），是野外确定其  $K_6$  砂岩良好的辅助标志。井田内仅在北部沟谷中有零星出露。

#### 3. 上统上石盒子组 ( $P_2s$ )

以  $K_6$  砂岩底为底界，连续沉积在下石盒子组之上，顶界为  $K_8$  砂岩底，厚度 343.79 ~ 499.98 m，平均厚度 356.51 m。岩性主要由灰色、灰绿色、紫色砂岩、砂质泥岩、泥岩组成，全组共分三段。

##### 1) 下段 ( $P_2s_1$ )

以  $K_6$  砂岩底为底界，以“中间砂岩”底为顶界，厚度 89.88 ~ 105.12 m，平均厚度 91.45 m。岩性主要由灰绿色砂岩夹紫红色、黄绿色砂质泥岩及灰黑色砂质泥岩组成。底部  $K_6$  砂岩为灰 - 灰白色厚层状中 - 粗粒长石石英砂岩，厚度 2.40 ~ 5.00 m，平均厚度 3.40 m。

##### 2) 中段 ( $P_2s_2$ )

以“中间砂岩”底为下界， $K_7$  砂岩底为上界，东北部部分被风化剥蚀，厚度 92.60 ~ 116.10 m，平均厚度 106.20 m。岩性以紫红色砂质泥岩为主，夹灰色、灰绿色砂岩及灰黑色泥岩。“中间砂岩”为粗 - 中粒厚层状长石石英砂岩，泥质胶结，含砾岩。

##### 3) 上段 ( $P_2s_3$ )

厚度 145.37 ~ 173.08 m，平均厚度 158.86 m。由  $K_7$  砂岩底至  $K_8$  砂岩底，岩性以葡萄紫色泥岩及砂质泥岩为主，夹灰色、灰绿色砂岩及蓝色泥岩条带。底部  $K_7$  砂岩为灰白 - 灰绿色厚层状长石石英砂岩，泥质胶结，底部含砾岩。

#### 4. 上统石千峰组 ( $P_2sh$ )

厚度 146.60 ~ 210.80 m，平均厚度 182.40 m。底部以  $K_8$  砂岩连续沉积在上

石盒子组地层之上，岩性为红 - 砖红色砂质泥岩、泥岩与砂岩互层，该组地层仅在井田东南部沟谷中有所出露。

### 1) 三叠系 ( $T_1$ ) 下统刘家沟组 ( $T_1l$ )

底部以  $K_{10}$  砂岩连续沉积于石千峰地层之上，岩性为红 - 砖红色砂质泥岩、泥岩与砂岩互层，该组地层仅在井田西南部沟谷中有所出露，出露厚度不超过 150 m。

### 2) 上第三系 (N) 上新统 ( $N_2$ )

沟谷中多有出露。出露角度不整合在下伏基岩地层之上，以红色、棕红色黏土为主，夹钙质结核层，底部常为胶结松散的砾岩。井田出露面积较小，仅在河谷，沟谷两侧零星出露。

## 1.3 含煤地层

井田内主要的含煤地层为石炭系上统太原组 ( $C_3t$ ) 和二叠系下统山西组 ( $P_1s$ )。

### 1. 石炭系上统太原组 ( $C_3t$ )

该组为主要含煤地层之一，厚度 67.29 ~ 104.24 m，平均厚度 81.87 m，为典型的海陆交互相旋回沉积。按沉积环境和岩性特征将本组分为一、二、三段。

#### 1) 一段 ( $C_3t_1$ )

$K_1$  砂岩底至  $L_1$  灰岩底，厚度 37.97 ~ 41.47 m，平均厚度 40.19 m，从下而上为：

$K_1$ ，厚度 0.78 ~ 8.85 m，平均厚度 2.99 m，细粒砂岩，灰白色、灰色中厚 - 薄层状，成分以石英为主，硅质胶结，脉状层理，夹泥岩条带；局部相变为粉砂岩，为砂坪沉积。

$K_1$  顶 ~ 10 号煤底，厚度 9.12 ~ 43.14 m，平均厚度 20.35 m，深 - 黑灰色泥岩、粉砂岩，薄层状，水平纹理，含星散状黄铁矿，见不完整植物化石，局部夹一层薄煤层（11 号）。

10 号煤层，厚度 3.19 ~ 5.63 m，平均厚度 4.57 m，黑色，细条带状结构，以亮煤为主，暗煤次之，光亮型煤，似金属光泽，夹 0 ~ 4 层夹矸，层位稳定，结构复杂，全区可采。

10 号煤顶 ~ 8 号煤底，厚度 7.03 ~ 11.08 m，平均厚度 4.57 m，深 - 黑灰色泥岩、粉砂岩，薄层状，水平纹理，含星散状黄铁矿。

8 号煤层，厚度 0.74 ~ 2.91 m，平均厚度 1.23 m，黑色，细条带状结构，以亮煤为主，暗煤次之，光亮型煤，似金属光泽，局部夹 1 ~ 2 层夹矸，层位稳定，全区可采。

8 号煤顶 ~ 8<sub>上</sub> 号煤底，厚度为 0 ~ 2.05 m，平均厚度为 1.21 m，深 - 黑灰色

泥岩、薄层状，水平纹理，见不完整植物化石。

$8_{上}$ 号煤层，厚度  $0.63 \sim 1.05$  m，平均厚度  $0.72$  m，黑色，细条带状结构，以亮煤为主，暗煤次之，光亮型煤，似金属光泽，层位稳定，大部分可采。

### 2) 二段 ( $C_3 t_2$ )

$L_1$  灰岩底 ~  $L_5$  灰岩顶，厚度  $25.62 \sim 49.97$  m，平均厚度  $34.53$  m。以海侵石灰岩发育为特征。由  $L_1$ 、 $L_2$ 、 $L_4$ 、 $L_5$  石灰岩构成主体格架，与深 - 黑灰色泥岩，灰 - 浅灰色中细粒砂岩及 6、7 号等薄煤层组成向上变浅的海退层序。石灰岩中均匀层理为主，含完整及不完整动物化石。化石主要为瓣、孔虫、腕足类碎片。泥岩中含黄铁矿结核及散晶，水平纹理，透镜状层理，少量植物化石。该段标志层横向稳定，沉积结构清楚，该段形成在海侵基础之上，所以未形成主要可采煤层。

### 3) 三段 ( $C_3 t_3$ )

$L_5$  灰岩顶 ~  $K_3$  砂岩底，厚度  $3.70 \sim 12.80$  m，平均厚度  $7.15$  m。以泥岩、砂质泥岩发育为特征，夹 5 号等薄煤层，含星散状黄铁矿。

## 2. 二叠系下统山西组 ( $P_1 s$ )

主要含煤地层之一，厚度  $68.42 \sim 89.90$  m，平均厚度  $77.52$  m。该组属于我国重要含煤地层之一，遍布中国北部及东北南部，煤层多、储量大、质量好、层位比较稳定，经济价值很大。

### 1) $K_3$ 砂岩

厚度  $1.95 \sim 20.10$  m，平均厚度  $10.44$  m。主要为细粒砂岩，薄层状，层面含较多植物化石，波状层理、脉状层理发育，为潮坪沉积。

### 2) $K_3$ 顶 ~ 4 号煤底

厚度  $3.16 \sim 19.22$  m，平均厚度  $10.44$  m。岩性为泥岩、砂质泥岩、粉砂岩为主，局部夹细砂岩；中 - 厚层状；波状层理、透镜状层理发育，含菱铁矿结核及植物化石碎片。该段属于潮汐强烈改造的三角洲前缘席状砂沉积。

### 3) 4 号煤

厚度  $0.34 \sim 4.59$  m，平均厚度  $2.26$  m。黑色，亮煤为主，暗煤次之，夹镜煤条带，光亮型煤。似金属光泽，结构简单，层位稳定；为潮汐三角洲前缘基础上发育的独立泥炭沼泽沉积。

### 4) 4 号煤顶 ~ 4<sub>上</sub> 号煤底

厚度  $0 \sim 10.28$  m，平均厚度  $5.54$  m。岩性以灰黑色、深灰色泥岩为主，局部为细粒砂岩；为三角洲分流间湾沉积。

### 5) 4<sub>上</sub> 号煤

厚度  $0 \sim 1.78$  m，平均厚度  $0.76$  m，黑色，亮煤为主，暗煤次之，光亮型煤，似金属光泽，结构简单，较稳定，大部分煤层可采；为三角洲前缘泥炭沼泽沉积。

### 6) 4<sub>上</sub>号煤顶~3号煤底

厚度 1.22~16.10 m, 岩性以深灰色灰黑色泥岩、砂质泥岩局部为细砂岩, 见植物化石; 为三角洲分流间湾沉积。

### 7) 3号煤层

厚度 0.95~2.71 m, 平均厚度 1.75 m; 黑色, 亮煤为主, 暗煤次之, 光亮型煤, 似金属光泽, 结构简单, 厚度稳定, 局部夹一层夹矸; 为三角洲前缘泥炭沉积。

## 1.4 可采煤层

井田内 3、4、8、10 号煤层为全井田可采煤层, 4<sub>上</sub>、8<sub>上</sub>号煤层为大部分可采煤层, 6 号煤层为局部可采煤层, 详见表 1-1。

表 1-1 可采煤层情况特征

含煤地层	煤层	见煤点厚度/m 最小~最大 平均	煤层间距/m 最小~最大 平均	结构 夹矸层数	可采性	稳定程度
山西组	3	0.95~2.71 1.75		简单 0~1	全井田可采	稳定
	4 <sub>上</sub>	0~1.78 0.76	1.22~16.10 7.76	简单 0	大部分可采	较稳定
	4	0.35~4.59 2.26	0~10.28 5.54	简单 0~1	全井田可采	稳定
太原组	6	0.31~1.20 0.61	9.36~62.30 32.72	简单 0~1	局部可采	不稳定
	8 <sub>上</sub>	0.63~1.05 0.72	25.07~39.79 30.01	简单 0	大部分可采	较稳定
	8	0.74~2.91 1.23	0~2.05 1.21	简单 0~2	全井田可采	稳定
	10	3.19~5.63 4.57	7.03~11.08 9.12	复杂 0~4	全井田可采	稳定

### 1. 3号煤层

3号煤层赋存在山西组中部, 全井田稳定可采, 煤层厚度 0.95~2.71 m, 平均厚度 1.75 m。上距 K<sub>4</sub> 砂岩 38.40 m, 下距 4<sub>上</sub>号煤层 7.76 m, 厚度变化不大(图 1-2)。煤层中一般不含夹矸, 局部含夹矸 1 层, 结构简单, 夹矸为泥岩或

炭质泥岩。顶板岩性多为泥岩，个别为中、细粒砂岩；底板岩性多为泥岩及砂质泥岩。该煤层为全井田范围内可采的稳定煤层。

## 2.4 上号煤层

4上号煤层赋存在山西组中下部，煤层厚度0~1.78 m，平均厚度0.76 m，上距3号煤层7.76 m，下距4号煤层5.54 m。该煤层在井田的中北部与4号煤层合并（图1-3）。结构简单，不含夹矸。顶板以泥岩和砂质泥岩为主，底板为泥岩、砂质泥岩。该煤层为大部分可采的较稳定煤层。

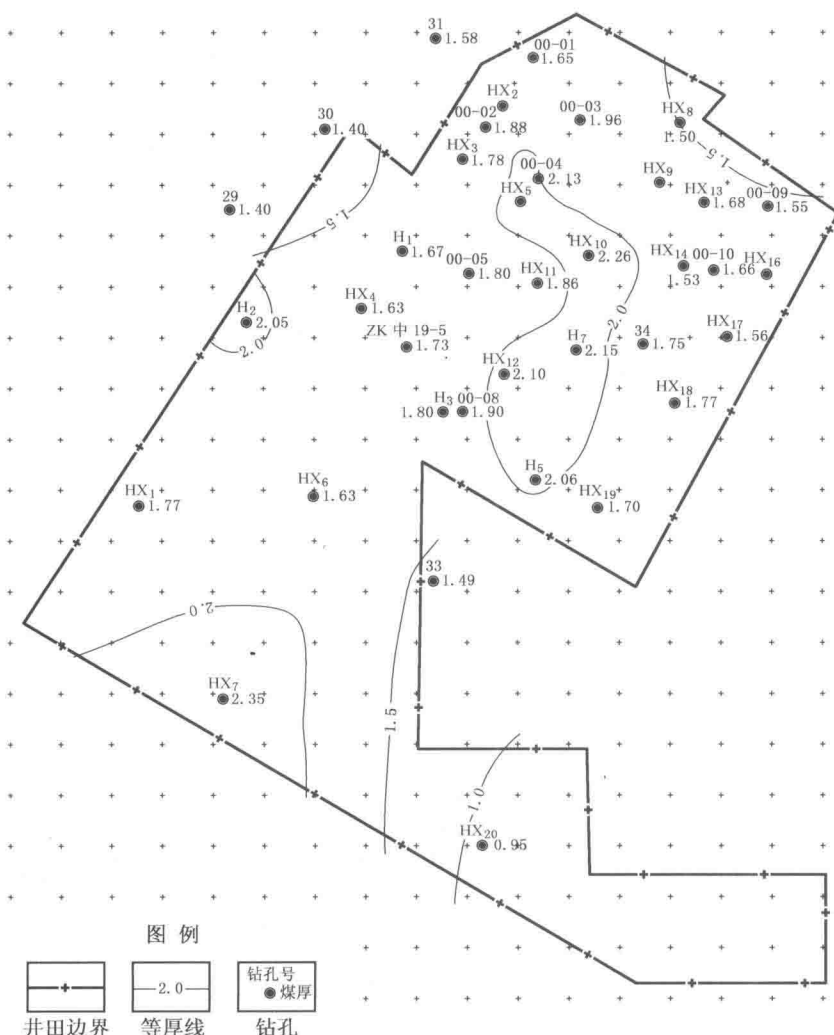


图1-2 3号煤层等厚线

### 3. 4号煤层

4号煤层赋存在山西组下部，上距4<sub>上</sub>号煤层5.54 m，下距K<sub>3</sub>砂岩21.05 m，煤层厚度0.35~4.59 m，平均厚度2.26 m。井田中北部与4<sub>上</sub>号煤层有小面积的合并区，其余大面积为分叉区（图1-4）。4号煤层结构简单，局部含一层夹矸，顶板多为细砂岩、砂质泥岩、泥岩，底板多为粉砂岩、泥岩。该煤层为全井田可采的稳定煤层。

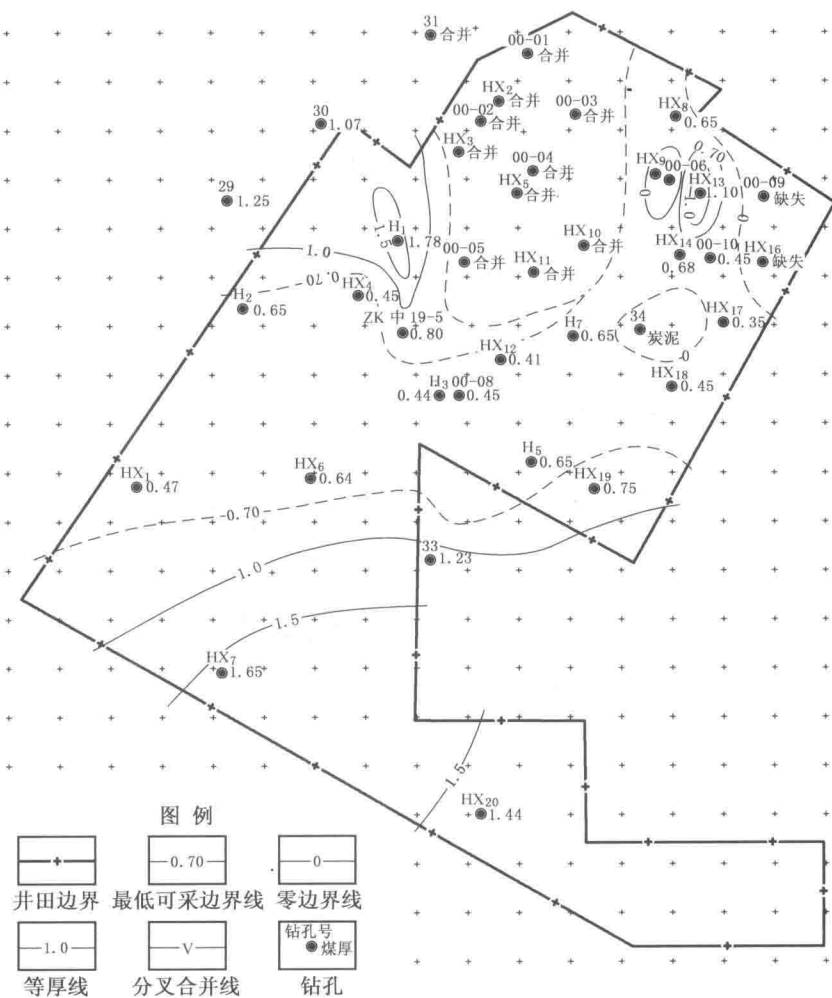


图1-3 4<sub>上</sub>号煤层等厚线

#### 4.6号煤层

6号煤层赋存在太原组中段，位于 $L_5$ 灰岩下，厚度 $0.31 \sim 1.20$  m，平均厚度 $0.61$  m，距下部 $8_{上}$ 号煤层 $30.01$  m。该煤层结构简单，顶板为石灰岩，底板为泥岩、砂质泥岩。该煤层为局部可采的不稳定煤层（图1-5）。

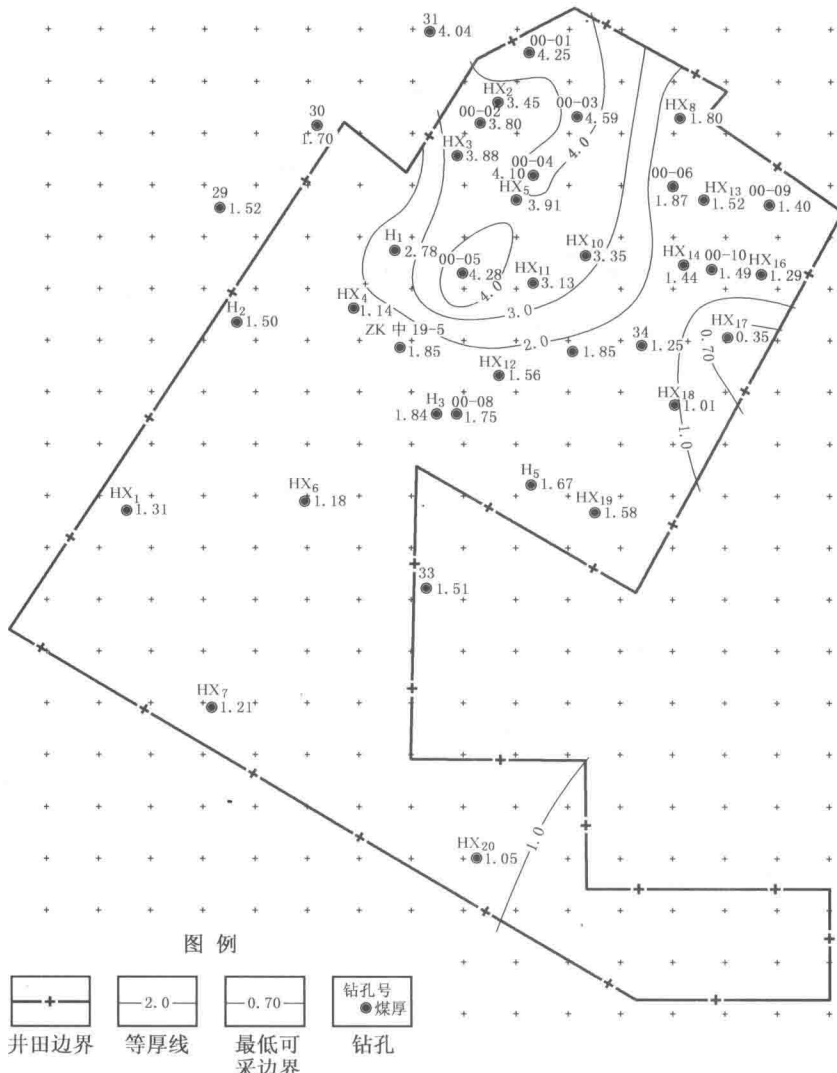


图1-4 4号煤层等厚线

#### 5.8<sub>上</sub>号煤层

$8_{上}$ 号煤层赋存在太原组下段顶部，位于 $L_1$ 灰岩下，厚度 $0.63 \sim 1.05$  m，平

均厚度 0.85 m，距下部 8 号煤层 1.08 m。该煤层结构简单，不含夹矸，顶板为 L<sub>1</sub> 灰岩，局部为薄层泥岩，底板为泥岩。该煤层在井田南部与 8 号煤层合并为一层（图 1-6），为大部分可采的较稳定煤层。

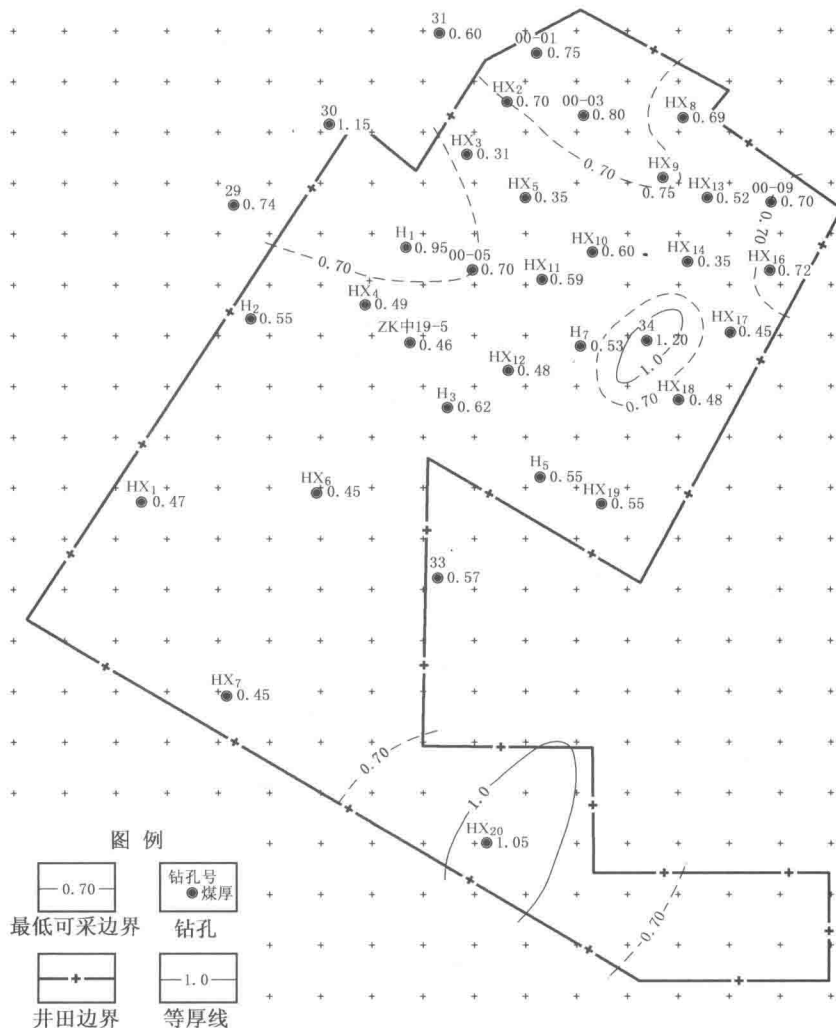


图 1-5 6 号煤层等厚线

### 6.8 号煤层

8 号煤层赋存在太原组下段顶部，煤层厚度 0.74 ~ 2.91 m，平均厚度 1.23 m。上距 8<sub>上</sub> 号煤层 1.08 m，下距 10 号煤层 9.12 m。在井田南部与 8<sub>上</sub> 号煤

合并为一层(图1-7)。该煤层结构简单,顶板以泥岩、石灰岩为主,底板主要为泥岩和砂质泥岩,为全井田稳定可采煤层。

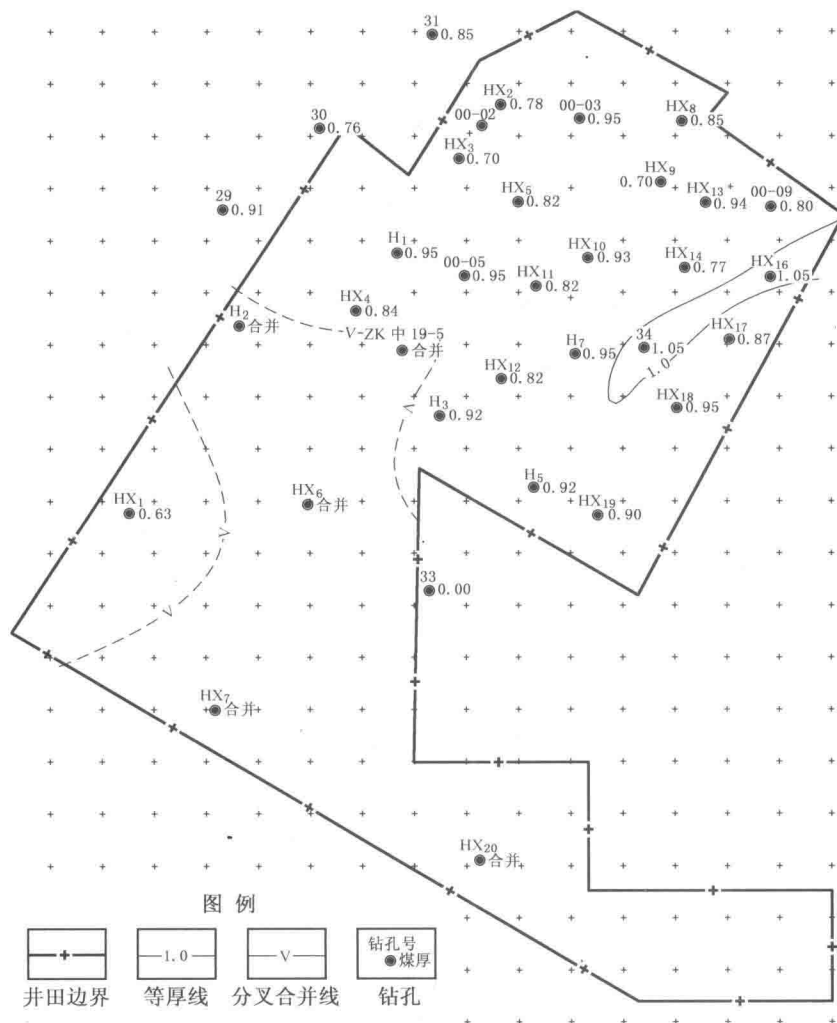


图1-6 8#煤层等厚线

### 7.10号煤层

10号煤层赋存在太原组下段上部,煤层厚度3.19~5.63 m,平均厚度4.57 m。上距8号煤层7.03~11.08 m,平均距离为9.12 m,下距K<sub>1</sub>砂岩9.12~